

京都大学防災研究所 正会員 土屋 義人

〃 〃 道上 正規

1. 緒言

運動現象を規定してくる物理的因素の数が多く、また流水中の個々の砂礫に作用する外力が不規則であるために、砂礫の移動は、不規則な断続的運動の反復現象であり、またその現象は場の偶発性に支配されるものと見られる。

本報告では、以上のような考え方によつて、砂礫の流送過程を確率過程としてとらえ、W.W.Sayre および D.W.Hubbell の研究を基礎にして、着色砂礫をトレーサーとして用いて詳細な実験を行なつて、砂礫の流送機構の確率的特性について 2,3 の考察を試みたものである。

2. 着色砂礫の移動に関する確率モデル

砂礫が静止から移動を開始してつゞいて静止するまでの過程を step と定義することにする。そうすれば、河床砂礫と同じ輸送特性をもつ着色砂礫の移動は、上記の step をとるかとならないかという現象で表わされ、その事象の起り方には偶発的な現象であると考えられるので、マルコフ過程のもつとも簡単な場合としてとりあつかうこととする。

いま、1 個の着色砂礫が時刻 $t=0$ で原点 $x=0$ から移動を開始し、距離 x を移動するとき、 n 回の step をとる確率 $P(n;x)$ は、区間の長さのみに依存し、その位置には無関係であることをふくめて step の $n-1$ 回目と n 回目の生起のし方は確率的に独立であることを仮定すれば、容易につづきのよび泊アリン分布に従うことわかる。

$$P(n;x) = e^{-\lambda x} (\lambda x)^n / n! \quad (1)$$

ここで、 λ は単位長さ当たりの移動確率で、すべての着色砂礫に対して一定である。 n step を終えて着色砂礫が距離 x に存在する確率は $1 - \sum_{i=0}^{n-1} e^{-\lambda x} (\lambda x)^i / i!$ であるから、 n step を終えた着色砂礫の位置に対する密度函数は次式であらわされる。

$$\phi(x;n) = \lambda^n e^{-\lambda x} (\lambda x)^{n-1} / (n-1)! \quad (2)$$

着色砂礫が n step で流下する平均移動距離は n/λ となり、1 step の平均移動距離は $1/\lambda$ となる。

つづいて時間に亘る着色砂礫の移動について考えることにする。着色砂礫が停止を開始し、それが終了するまでの時間を step と定義し、かつその休止時間が移動してくる時間にくらべて無視しうるほど大きいと假定すれば、時間に亘る着色砂礫の移動は位置に関する場合と相似に見えるので、着色砂礫が時間 t の間に n step をとる確率 $P(n; t)$ は、次式のように表わされる。

$$P(n;t) = e^{-\lambda t} (\lambda t)^n / n! \quad (3)$$

ここに、 λ は単位時間当たりの移動確率で、すべての着色砂礫に対して一定である。さらに、(3)式から着色砂礫が原点に残留する確率 $P(0; t)$ は、次式によつて表わされる。

$$P(0;t) = e^{-\lambda t} \quad (4)$$

着色砂礫の移動は、それが動き出す確率事象と移動距離の確率事象とが独立で、それらの複合事象で

あると解釈される。したがって、条件付確率の概念によつて、時間たにあける距離 x に関する着色砂礫の確率密度函数は(2)あるいは(3)式から次式のように導けられる。

$$f(x; t) \equiv f_t(x) = \lambda_1 e^{-(\lambda_1 x + \lambda_2 t)} \sqrt{\frac{\lambda_2 t}{\lambda_1 x}} I_1(2\sqrt{\lambda_1 x \lambda_2 t}) \quad (5)$$

ここで、 $I_1(2\sqrt{\lambda_1 x \lambda_2 t})$ は1次イモ形スレーベンセル函数である。時間たにあける着色砂礫の平均移動距離 \bar{x} あるいはその分散 σ^2 はそれぞれ次式のようにならる。

$$\bar{x} = \int_0^\infty x f_t(x) dx = \lambda_2 t / \lambda_1 \quad (6)$$

$$\sigma^2 = \int_0^\infty x^2 f_t(x) dx = 2/\lambda_1^2 \cdot \lambda_2 t \quad (7)$$

つづいて、これらの着色砂礫をトレーサーとして用いて、流砂量式を導くことにする。着色砂礫の平均移動速度は(6)式から $\lambda_2 t / \lambda_1$ となり、 $\lambda_2 t / \lambda_1$ は河床砂礫の平均移動速度を表わしてあると考えられるので、流砂量は河床砂礫の移動層の個数に入り、あるいは砂礫の体積をそれぞれ乘じることによって求まる。着色砂礫を実験的に実験すれば、着色砂礫の移動層は一層程度であると確認されたので、河床砂礫の移動層を河床面から一層と仮定すると、流砂量式は次式のようにならる。

$$q_B = 1/K_1 d^2 \cdot K_2 d^3 \cdot \lambda_2 t / \lambda_1 \quad (8)$$

ここで、 q_B は単位時間当り、単位長さ当りの流砂量、 K_1 あるいは K_2 は砂礫の形状によって決定される定数である。あるいは粒径である。

3. 実験の概要

断面が $20\text{cm} \times 20\text{cm}$ 、長さが $1/4\text{m}$ の鋼製水路で、 3mm から 4mm の粒径の砂礫を厚さ 5cm 、河床こう配 $1/100$ に敷き、水路の下流域から 8m の位置を原点とし、そこには河床砂礫と同じ粒径の着色砂礫を設置して、着色砂礫の流下方向の移動分布あるいは原点に残留してある個数を測定した。原点における着色砂礫の数を基準とすれば、その個数を100個、面積を $16\text{cm} \times 5\text{cm}$ とし、かつその厚さが一層で、着色砂礫面と河床面とが一致するように配置した。流れの状態が等流になるとまでに着色砂礫が流下しないように、金網であおり、等流状態になつてから、金網をとつて所定の時間まで着色砂礫を流下させようとした。

4. 実験結果と考察

河床形態は Transition または flat bed の階級に属してあり、砂礫の移動形式は掲流であった。着色砂礫の原点に残留する確率の時間的変化を示したもののが図-1である。この図から明らかにわかるように、実験値は(4)式の関係をほぼ満足しており、図中のこう配から $\lambda_2 t$ を決定することができる。図-2は、着色砂礫の系の平均移動距離と時間の関係を示したもので、(6)式によつて表わされる関係が、着色砂礫に対して適用しうることが明らかとなろう。また、そのこう配から着色砂礫の平均移動速度 $\lambda_2 t / \lambda_1$ を決定することができる。このようにして決定された確率定数 λ_1 あるいは λ_2 を用ひて、着色砂礫の分散を(7)式によつて計算した値と実験結果から求めた値とは図-3に示すように、広範囲の時間に対してもよく一致していることから、着色砂礫の流送過程は確率過程としてヒリアード法が可能なことを示している。

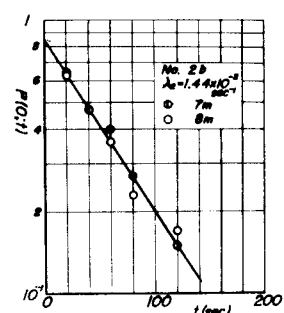


図-1 $P(0,t)$ の時間的変化

つぎに、原桌に置かれた着色砂礫が時間の経過とともに、どのように分散しながら移動していくかを検討するため、(5)式の確率密度函数を規格化して、図-1 および 2 で求めた確率密度函数を用いて計算した結果と実験結果とを比較したもののが図-4 である。この図からも明らかなように、着色砂礫の移動分布は、最初は指数分布の形状を呈しているが、時間の経過につれてモードともづた分布になつていくことがわかり、また理論式と実験結果との適合性を χ^2 検定によって検討した結果、実験結果が理論によく適合していることなどがわかることが明らかにした。

図-5 は、着色砂礫が 1 step を移動するときの距離の分布を示したものである。図中の曲線は、(2)式について $n=1$ として場合の式にリストアラムの区間の長さを乗じて求めた結果である。Einstein が提案した 1 step の平均移動距離は、約 100~200 d 程度であるが、その分布特性は図-5 に示してあるように、指数分布にはならないことが明らかとなる。これらの結果を χ^2 検定によって比較検討した結果、実験結果が指数分布によく適合していることなどがわかることが見て取れた。今後、流砂現象を解明していく上、こうして分布特性が考慮されなければならぬと思われる。

図-6 は、着色砂礫が 1 step を移動するときの移動時間の分布を示したものである。この移動時間の分布から平均の移動時間を求めると、3 sec となり、この値は図-1 から決定される 1 step の平均休止時間の 70 sec と比較して非常に小さく、このことから確率生モデルを設定する場合の仮定がほぼ満足されてゐると言えることができる。しかしながら、移動時間が休止時間に比較して極端でないような状態についての確率生モデルの設定は当然考えなければならない問題であろう。

図-7 は、1 step の平均移動距離の無次元量と水理量との関係を示したものである。なお、図中の $1/\lambda_1$ あるいは $1/\lambda_2$ はそれそれぞれ揚曳力あるいは限界揚曳力の無次元量を表す。揚曳力の増加とともに、1 step の平均移動距離は、粒径の広い範囲にわたりて系統的な変化を示してからず、約 100~200 d 程度である。

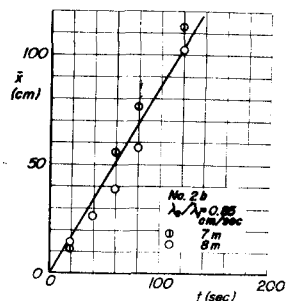


図-2 平均移動距離と時間の関係

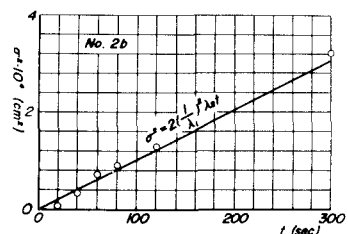


図-3 分散の時間的変化

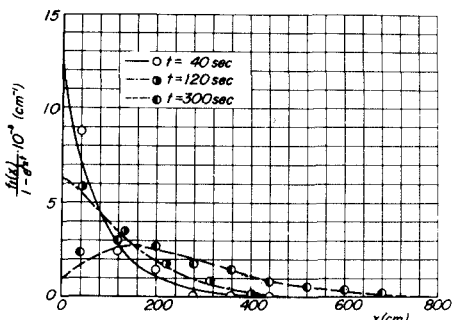


図-4 着色砂礫の移動分布

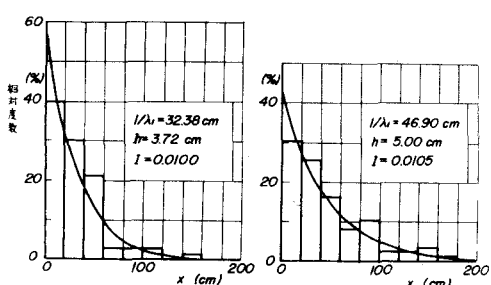


図-5 1 step の移動距離の分布

図-8は、単位時間当たりの移動確率 λ_1 と $1/4 - 1/4c$ の関係を示したものであるが、掃流力の増加にともなって単位時間当たりの移動確率が増加するこことがわかる。したがって、すでに橋らが指摘しているように、掃流力の増加にともなって流砂量が増加するには、1 step の平均移動距離が増加するのではなくて、その単位時間当たりの移動確率の増加に起因していよううに思われる。

つきに、(8)式で示された流砂量式を dx/dt 両辺を割って、無次元化すると次式のようになる。

$$g_{B*} \equiv g_B / u_{*d} = k_2 / k_1 \cdot \lambda_2 / \lambda_1 u_* \quad (9)$$

$\lambda_2 / \lambda_1 u_*$ と $1/4 - 1/4c$ の関係を図示すると図-9のようになり、掃流力の増加にともなつて、 $\lambda_2 / \lambda_1 u_*$ の値は系統的に増加するこことがわかる。著者らが用いた実験時の k_2 / k_1 を測定すると0.4と見積り得るので、この値を(9)式に適用して、流砂量と $1/4 - 1/4c$ の関係をあらび実験結果を示したもの。

が図-10である。この図において、限界掃流力時以上の $\lambda_2 / \lambda_1 u_*$ の値に対しては、 g_{B*} と $\lambda_2 / \lambda_1 u_*$ の実験値はほぼ比例していよううであり、また(9)式は粒径の広い範囲にわたって、実験結果と比較的よし一致を示している。しかしながら、 $\lambda_2 / \lambda_1 u_*$ の値が限界掃流力時よりも小さい場合には橋らの実験結果に対して、(9)式が一致しない理由については今後検討していくつもりである。

4. 結語

以降、砂礫の流送過程を確率過程としてとらえ、その確率的特性について考察して、トレーサーの追跡によつて流砂量を測定するこことが可能なことを示唆した。

最後に、本研究を遂行するにあたつて、御指導をして下さつた東京大学防災研究所矢野勝正教授に感謝の意を表す。

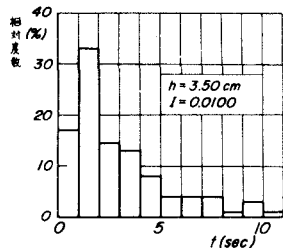


図-6 1 step の移動時間の分布

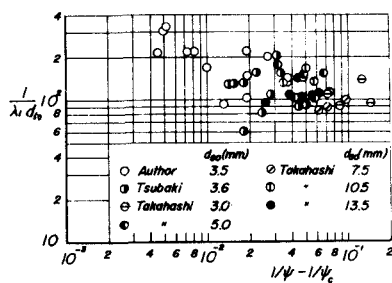


図-7 $1/4 - 1/4c$ と $\lambda_2 / \lambda_1 u_*$ の関係

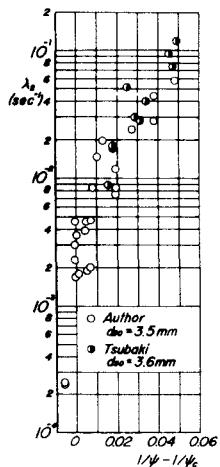


図-8 λ_2 と $1/4 - 1/4c$ の関係

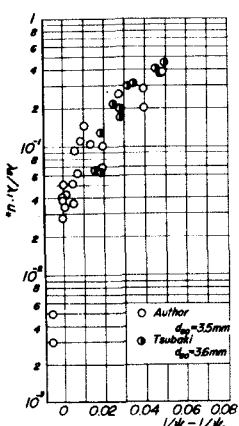


図-9 $\lambda_2 / \lambda_1 u_*$ と $1/4 - 1/4c$ の関係

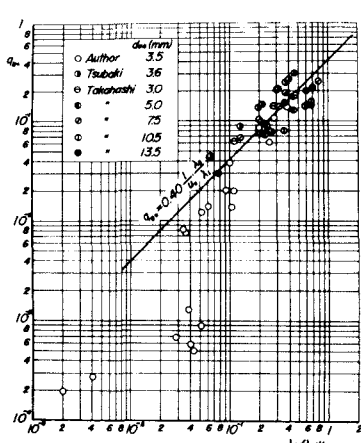


図-10 流砂量式と実験値との比較